

Д.т.н., проф. Е.Г. Жиляков, А.С. Белов

О ФИЛЬТРАЦИИ ПАУЗ В РЕЧЕВЫХ ДАННЫХ  
ДЛЯ РЕАЛИЗАЦИИ В СЛУХОВЫХ АППАРАТАХ

*Рассматривается новый алгоритм, предназначенный для обнаружении и удалении пауз при обработке речевых данных в слуховых аппаратах, позволяющий принимать решение о наличии паузы на основе учета отличий в распределении энергетических составляющих отрезков со звуковыми данными (и аддитивным шумом) и отдельно шумов в частотной области.*

**Введение**

В современных цифровых слуховых аппаратах (СА) используются методы обнаружения пауз, основанные на статистическом анализе входного сигнала и распознавании речи от шума, которые контролируют распределение интенсивности входного сигнала на коротких временных интервалах в 15 частотных каналах, вычисляемых с помощью КИХ-фильтров. Оценки долей энергий в этих частотных каналах на основе выходных последовательностей КИХ-фильтров обладают достаточно большими погрешностями, что эквивалентно наличию дополнительных помех.

В связи с этим в статье рассматривается новый алгоритм обнаружения пауз в речевых данных, при их обработке в слуховых аппаратах, в основе создания которого лежит математический аппарат, позволяющий вычислять точные значения долей энергии отрезка сигнала, которая сосредоточена в любом конечном частотном интервале. Это дает возможность адекватно учесть свойство сосредоточенности энергии звуков речи в малом количестве достаточно узких частотных интервалов и принимать решение об отсутствии паузы на основе сравнения попадающих в них долей энергий отрезков со звуковыми данными (и аддитивным шумом) и отдельно шумов.

**Математические основы метода**

Пусть компоненты вектора  $\bar{x} = (x_1, \dots, x_N)^T$  представляют собой значения некоторого звукового сигнала (функции времени),

которые соответствуют значениям аргумента  $i\Delta t$ , т.е.

$$x_i = x(i\Delta t), \quad i = 1, \dots, N, \quad (1)$$

где  $\Delta t$  - интервал дискретизации по времени.

Положим далее

$$X(v) = \sum_{k=1}^N x_k e^{-j(k-1)v}, \quad (2)$$

т.е.  $X(v)$  представляет собой трансформанту Фурье (амплитудный частотный спектр (АМС)) отрезка отсчетов сигнала (вектора), в качестве области определения которой естественно рассматривать (нормированная частота)

$$-\pi \leq v \leq \pi, \quad (3)$$

так, что имеет место обратное преобразование (справедливо представление)

$$x_i = \frac{1}{2\pi} \int_{-\pi}^{\pi} X(v) e^{j(i-1)v} dv. \quad (4)$$

Отсюда нетрудно получить равенство Парсеваля

$$\|\bar{x}\|^2 = \sum_{k=1}^N x_k^2 = \frac{1}{2\pi} \int_{-\pi}^{\pi} |X(v)|^2 dv, \quad (5)$$

так, что

$$P_r(\bar{x}) = \frac{1}{2\pi} \int_{v \in V_r} |X(v)|^2 dv \quad (6)$$

представляет собой долю энергии отрезка сигнала (евклидовой нормы вектора), соответствующую частотному интервалу

$$V_r = [-v'_2, -v'_1] \cup [v'_1, v'_2]. \quad (7)$$

Подстановка определения (2) в интеграл (6) позволяет получить выражение вида:

$$P_r(\bar{x}) = \bar{x}^T A_r \bar{x}, \quad (8)$$

$$\text{где } A_r = \{a'_{ik}\}, \quad a'_{ik} = \begin{cases} \frac{\sin[v'_2(i-k)] - \sin[v'_1(i-k)]}{\pi(i-k)}, & i \neq k \\ \frac{v'_2 - v'_1}{\pi}, & i = k \end{cases} \quad (9)$$

Таким образом, применение нового метода вычислений точных значений долей энергии в частотных интервалах позволяет

максимально повысить достоверность принятия решений о принадлежности анализируемого отрезка пауз.

Иными словами предлагаемый подход позволяет оптимизировать процедуру обнаружения пауз, в том смысле, что при заданной вероятности ложной тревоги максимизируется вероятность правильного обнаружения начала звуков речи за счет адекватного учета сосредоточенности их энергий в нескольких узких частотных интервалах.

### Результаты вычислительных экспериментов

Экспериментальные исследования проводятся с целью проверки работоспособности алгоритма сжатия речевых данных за счет обнаружения и кодирования пауз на основе сравнения распределений энергии шума и смеси сигнал + шум в заданных частотных интервалах.

В частности, оцениваются вероятности правильного обнаружения пауз (ПОП) и ложного обнаружения пауз (ЛОП).

В основе вычислительных экспериментов по обработке отрезков речевых сигналов лежит разработанный алгоритм сжатия за счёт кодирования пауз.

I. Формируем основную гипотезу  $H_0$ : анализируемый отрезок  $\bar{x} = (x_1, \dots, x_N)^T$  длительностью  $N$  отсчетов принадлежит паузе в речевых сообщениях, используется решающее правило:

Если

$$S = \max(P_r / P_r^n) > h_\alpha, \quad r = 1, \dots, R; \quad (10)$$

то гипотеза отвергается.

Здесь:  $R$  – общее количество частотных интервалов;

$P_r^n$  – оценка математического ожидания доли энергии сигнала в паузе в соответствующем частотном интервале;

$h_\alpha$  – порог, удовлетворяющий условию

$$\int_0^{h_\alpha} W(S) dS \geq 1 - \alpha, \quad (11)$$

где:  $1 - \alpha$  – выбранный уровень правильного обнаружения пауз ( $\alpha$  – вероятность ложных тревог);  $W$  – функция плотности вероятности решающей функции  $S$ ;

## ОБРАБОТКА РЕЧЕВЫХ ДАННЫХ

II. Так же как в реальных информационных технологиях, для оценивания  $P_r^n$  и  $h_a$  используется этап обучения. На этапе обучения осуществляется:

1) Вычисление среднего значения энергии сигнала заведомо относящегося к паузе по формуле

$$P_r^n = \sum_{k=1}^{N_y} (P_r)_k^n / N_y, \quad (12)$$

где:  $N_y$  - количество отрезков сигнала в паузе, которые используются для усреднения (обучения), что соответствует оцениванию математических ожиданий вычисляемых долей энергий в соответствующих частотных интервалах.

$(P_r)_k^n$ -энергия анализируемого отрезка относящегося к паузе в  $r$ -том частотном интервале, вычисляемая по формуле (8).

2) На основе неравенства Чебышева проводится итерация по определению порога, обеспечивающего заданный уровень вероятности ложной тревоги

$$h_a \leq \bar{S}_n + a * D_n / \sqrt{\alpha}. \quad (13)$$

где:  $h_a$  - порог,  $\alpha$  - заданный уровень вероятности ложной тревоги,  $a$ -коэффициент, значение которого больше двух, а его конкретная оценка проводится в процессе обучения по следующему

$$\text{принципу: } \beta_m = \frac{\sum_{k=1}^{N_y} \text{sig}(S_k^n - h_a^m)}{N_y}, \text{ sig}(x) = 1, x > 0; \text{ sig}(x) = 0, x \leq 0.$$

Если  $|\alpha - \beta_m| \leq \alpha^2$ , то  $h_a = h_a^m$  и прекратить итерации. В противном случае при  $\alpha > \beta_m$  положить  $a_{m+1} := (1 - \alpha \times a_m) \times a_m$ , если же выполняется неравенство  $\alpha < \beta_m$ , то положить  $a_{m+1} := (1 + \alpha \times a_m) \times a_m$ , положить  $m=m+1$  и продолжить итерации.

До этого при использовании обучающей выборки относящихся к паузе данных вычисляются оценки математических ожиданий вида (12). Затем вычисляются оценки математического ожидания и дисперсии решающей функции:

$$\bar{S}_n = \sum_{k=1}^{N_y} (S_k^n) / N_y, \quad (14)$$

## ОБРАБОТКА РЕЧЕВЫХ ДАННЫХ

До этого при использовании обучающей выборки относящихся к паузе данных вычисляются оценки математических ожиданий вида (12). Затем вычисляются оценки математического ожидания и дисперсии решающей функции:

$$\bar{S}_n = \sum_{k=1}^{N_y} (S_k^n) / N_y, \quad (14)$$

$$D_n^2 = \sum_{k=1}^{N_y} (S_k^n)^2 / N_y - \bar{S}_n^2. \quad (15)$$

Здесь символ  $S_k^n$  означает значение решающей функции на  $k$ -том анализируемом отрезке, заведомо относящемся к паузе данных.

Для сокращения объема вычислительных работ используются свойства собственных векторов и матриц:

1) Для каждого из частотных интервалов вычисляются матрицы  $A$ , и соответствующие наборы собственных векторов и чисел

$$\lambda_{kr} \tilde{q}_{kr} = A_r \tilde{q}_{kr}, \quad k = 1, 2, \dots, J. \\ J = 2 \left[ \frac{N}{2R} \right] + 2, \quad r = 1, \dots, R.$$

2) На основе собственных значений матриц  $A_r$  формируется матрица  $AA$

$$AA = \begin{pmatrix} \sqrt{L_1} Q_1^T \\ \sqrt{L_2} Q_2^T \\ \vdots \\ \sqrt{L_R} Q_R^T \end{pmatrix}, \quad (16)$$

где  $Q_r = (\tilde{q}_{1r}, \dots, \tilde{q}_{Jr})$  - матрица собственных векторов,  $L_r = \text{diag}(\lambda_{1r}, \dots, \lambda_{Jr})$  - диагональная матрица собственных чисел матрицы  $A_r$ .

3) Для определения приближенных значений долей энергии отрезка сигнала вычисляется вектор

$$\vec{y}y = AA\vec{x} = \begin{pmatrix} \bar{y}_1 \\ \bar{y}_2 \\ \vdots \\ \bar{y}_R \end{pmatrix}, \quad (17)$$

и суммы квадратов компонент соответствующих подвекторов

$$\hat{P}_r = \sum_{k=1}^J (y_k)^2. \quad (18)$$

$$\bar{y}_r = \sqrt{L_r Q_r^T \bar{x}}, r = 1, \dots, R,$$

что является оценкой доли энергии сигнала в  $r$ -том частотном интервале отрезка речевого сигнала.

III. Для оценки обоснованности выбора  $h_a$  используется этап диагностической проверки:

1) Вычисление оценки вероятности правильного обнаружения паузы ( $\alpha_{\text{non}}$ ).

Вычисление оценки вероятности правильного обнаружения паузы проводился на участке сигнала заведомо относящегося к паузе по формуле

$$\alpha_{\text{non}} = \frac{D_{\text{нен}}}{k2 - k1},$$

где  $D_{\text{нен}}$  - количество значений решающей функции не превышающих порог,

$k1$  - номер отсчета начала паузы,

$k2$  - номер отсчета конца паузы.

2) Вычисление оценки вероятности ложного обнаружения паузы ( $\alpha_{\text{лон}}$ ).

Вычисление оценки вероятности ложного обнаружения паузы проводился на участке сигнала заведомо относящегося к речи по формуле

$$\alpha_{\text{лон}} = \frac{D_n}{n2 - n1},$$

где  $D_n$  - количество значений решающей функции превышающих порог,

$n1$  - номер отсчета начала речи,

$n2$  - номер отсчета конца речи.

В качестве эмпирических данных были использованы отрезки речевых файлов. Длина анализируемого отрезка выбрана равной  $N=20, 60, 200, 1000$ .

Область определения трансформант Фурье дискретных

сигналов  $[0, \pi]$  разбивается на  $R$  одинаковых частотных интервалов, таких что  $\nu_{2r} - \nu_{1r} = \Delta\nu = \text{const}$ , причем такие  $R$ , что  $M$  является целым числом ( $N=MR$ ).

В ходе экспериментов для всех значений  $N$  используется различное разбиение оси частот на  $R$  частотных интервалов, а именно:

при  $N=20 \quad R=2, 5, 10,$

при  $N=60 \quad R=2, 6, 10, 15, 30,$

при  $N=200 \quad R=2, 20, 25, 50, 100,$

при  $N=1000 \quad R=2, 10, 50, 100.$

В табл. 1 представлены предварительно вычисленное значение порога при заданном уровне вероятности ложной тревоги, оценка вероятности правильного и ложного обнаружения пауз на участке сигнала в 100000 отсчетов при заданных  $N$  и  $R$ .

Таблица 1

Оценка вероятности правильного ( $\alpha_{\text{non}}$ )  
и ложного ( $\alpha_{\text{лон}}$ ) обнаружения пауз

№ эксперимента	$N$	$R$	$\alpha_{\text{non}}$	$\alpha_{\text{лон}}$
1	20	2	0,98781	0,0032
2	20	5	0,98781	0,0026
3	20	10	0,98320	0,0013
4	60	2	0,98261	0,0012
5	60	6	0,98801	0,0006
6	60	10	0,98441	0,0006
7	60	15	0,99101	0,0007
8	60	30	0,98381	0,0007
9	200	2	0,99001	0,0000
10	200	20	0,99601	0,0000
	200	25	0,99201	0,0022
12	200	50	0,99801	0,0000
13	200	100	0,99801	0,0000
14	1000	2	0,99001	0,0000
15	1000	10	0,98001	0,0000
16	1000	50	0,98001	11
17	1000	100	0,98001	0,0000

## ОБРАБОТКА РЕЧЕВЫХ ДАННЫХ

Для иллюстрации полученных результатов на рис. 1-4 изображены границы пауза/речь и речь/пауза (на рисунках, заранее на слух определяемая граница, отображена вертикальной линией).

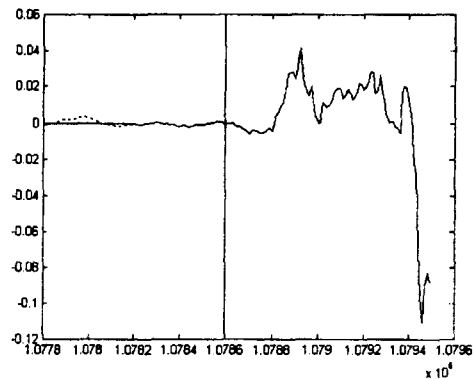


Рис. 1

Граница пауза/звук, определенная при использовании параметров  $N=60, R=2$

При использовании значений параметров  $N=60, R=2,40$  отсчетов паузы определяются как речь, т.к. анализируемый отрезок достаточно велик и захватывает как речь, так и паузу перед речью. Звук при этом не искажается, но ухудшается степень сжатия речи.

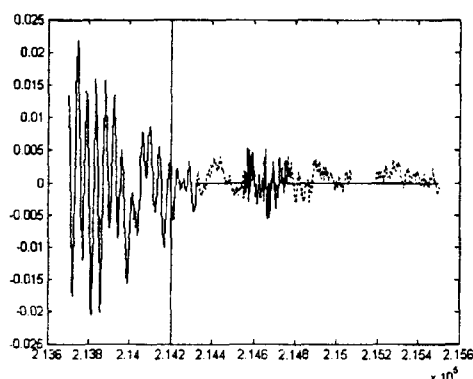


Рис. 2

Граница звук/пауза, определенная при использовании параметров  $N=60, R=2$ .

## ОБРАБОТКА РЕЧЕВЫХ ДАННЫХ

При использовании значений параметров  $N=60, R=2,180$  отсчетов паузы определяются как речь. Звук при этом не искажается, но некоторые короткие участки паузы (например, отсчеты с 214600 по 214800) определяются как речь, что создает «треск» при воспроизведении и ухудшает степень сжатия речи.

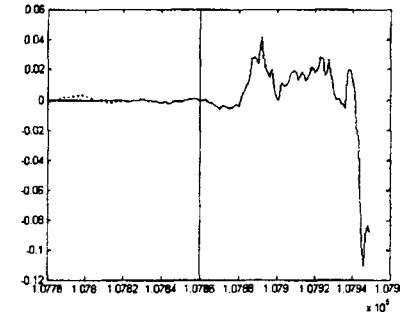


Рис. 3

Граница пауза/звук, определенная при использовании параметров  $N=60, R=10$ .

При использовании значений параметров  $N=60, R=10, 40$  отсчетов паузы определяются как речь, т.к. анализируемый отрезок достаточно велик и захватывает как речь, так и паузу перед речью. Звук при этом не искажается, но ухудшается степень сжатия речи.

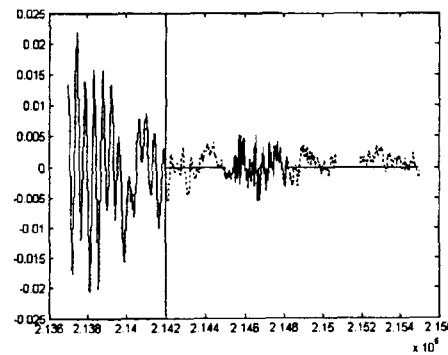


Рис. 4

Граница звук/пауза, определенная при использовании параметров  $N=60, R=10$ .

## ОБРАБОТКА РЕЧЕВЫХ ДАННЫХ

При использовании значений параметров  $N=60$ ,  $R=10$ , граница паузы определяется точно, но некоторые короткие участки паузы (например, отсчеты с 214600 по 214800) определяются как речь, что создает «треск» при воспроизведении и ухудшает степень сжатия речи.

### **Заключение**

Предлагаемый алгоритм сжатия речевых данных за счет обнаружения и кодирования пауз на основе сравнения распределений энергии шума и смеси сигнал + шум в заданных частотных интервалах обладает высокой работоспособностью.

При всех использованных сочетаниях  $N$  и  $R$  вероятность правильного обнаружения пауз не менее 0,98, а ложного обнаружения пауз - не превосходит 0,005. По результатам вычислительных экспериментов рекомендуется использовать длины анализируемых отрезков  $N=60$  при количестве частотных интервалов  $R=10$ , т.к. при этом адекватно учитываются узость частотных интервалов, где сосредоточена энергия речевых сигналов, и объем вычислительных работ.

### **Литература**

1. Жиляков Е.Г., Белов С.П. и Прохоренко Е.И. Уменьшение объема битового представления речевых данных на основе нового метода удаления пауз. - Вопросы радиоэлектроники", сер. ЭВТ, 2007, вып. 2, с. 82-92.
2. Жиляков Е.Г., Белов С.П. и Прохоренко Е.И. Вариационные методы частотного анализа звуковых сигналов. – "Труды учебных заведений связи", 2006, вып. 174, с. 163-172.
3. Белов С.П. и др. Способ обнаружения пауз в речевых сигналах и устройство его реализующее. Положит. решение о выдаче Патента на изобретение по заявке №2006138374/09 (041799) от 30.10.2006.

*Статья поступила 15.10.2007*